

36. H. F. Calcote. Comb. Flame, 1957, 1, 385.
 37. Г. Месси. Отрицательные ионы. М.: Мир, 1979.
 38. Л. М. Биберман, В. С. Воробьев, И. Т. Якубов. Кинетика неравновесной низкотемпературной плазмы. М.: Наука, 1982.
 39. Ю. А. Николаев, М. Е. Топчиян. ФГВ, 1979, 15, 5.
 40. С. А. Ждан, В. И. Феденок. ФГВ, 1982, 18, 6.
 41. К. Шимони. Физическая электроника. М.: Энергия, 1977.
 42. D. R. Bates. Phys. Rev., 1955, 78, 492.

ОСОБЕННОСТИ ВЗАИМОДЕЙСТВИЯ С ПРЕПЯТСТВИЕМ ВЗРЫВНЫХ ВОЛН ОТ СФЕРИЧЕСКОЙ ДЕФЛАГРАЦИИ

*C. A. Быстров, B. A. Горев
(Москва)*

Свойства взрывных волн от сферической дефлаграции определяются законом горения газового облака, поэтому их поведение отлично от волн, обязанных своим происхождением детонации тротила. Например, в ближней зоне взрыва максимальное избыточное давление положительной фазы этих волн значительно меньше, а продолжительность этой фазы больше, чем для волн от взрыва тротила. По мере удаления от источника взрыва волны от дефлаграции затухают медленнее, и их нельзя описать эквивалентным тротиловым взрывом. В [1] дано подробное сравнение основных характеристик взрывных волн (максимальное избыточное давление и импульс положительной фазы волны) для разных источников взрыва. Там же отмечается отличие профилей взрывных волн при дефлаграции от профиля волны тротилового взрыва.

В настоящей работе делается попытка обнаружить и оценить ту разницу действия взрывных волн на препятствия, которая обусловливается только особенностями их профиля. Максимальное избыточное давление положительной фазы волны и ее импульс берутся при этом одинаковыми.

Существенные следующие особенности взрывных волн от газовой дефлаграции: 1) профиль положительной фазы волны не имеет ударного фронта; 2) амплитуда волны разрежения может быть в несколько раз больше амплитудного значения давления в положительной фазе волны; 3) импульс волны разрежения может быть больше импульса первой положительной фазы волны, и в этом случае за волной разрежения следует вторая фаза сжатия. Экспериментально зарегистрированные профили волн с отмеченными особенностями приведены в [1].

Предполагается, что препятствие воспринимает падающую волну, не внося существенных искажений в ее профиль эффектами отражения и обтекания. Такими свойствами, например, обладают препятствия, у которых один из поперечных размеров меньше длины волны. Вообще, взрывные волны от дефлаграции обычно имеют большую протяженность, так как горение при аварийных газовых взрывах — существенно дозвуковой процесс. Правила учета поправок на отражение и обтекание даны в [2].

Препятствие рассматривается как механическая система, обладающая инертной массой M и упругим сопротивлением K . Отклик такой системы на внешнее воздействие можно исследовать с помощью модельного уравнения

$$M \frac{d^2x}{dt^2} + Kx = \Delta p(t), \quad x(0) = \dot{x}(0) = 0$$

или в безразмерном виде

$$\frac{d^2\xi}{d\tau^2} + \xi = \frac{\Delta p(t)}{\Delta p_+}, \quad \xi(0) = \dot{\xi}(0) = 0, \quad (1)$$

где $\xi = Kx/\Delta p_+$ — безразмерное смещение препятствия; $\tau = t/\theta$ — безразмерное время; $\theta = \sqrt{M/K}$ — характерное время собственных колебаний си-

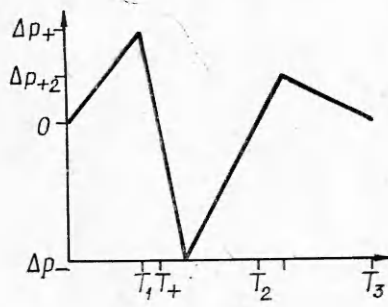


Рис. 1. Рассматриваемый профиль волны от сферической газовой дефлаграции.

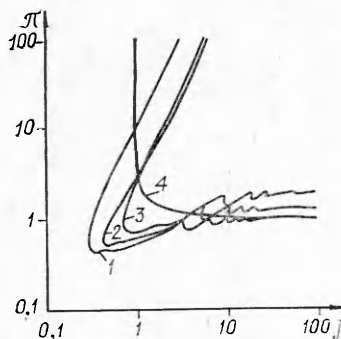


Рис. 3. Кривые равных безразмерных максимальных смещений (обозначения аналогичны рис. 2).

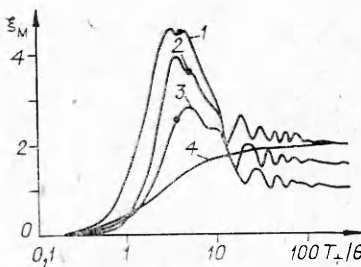


Рис. 2. Зависимость максимального смещения препятствия от отношения времени действия волны T_+ ко времени релаксации препятствия θ .
 1 — $\alpha = 2$, $\Delta p_{+2}/\Delta p_+ = 1/2$, $T_+/T_1 = 1,2$, $T_2/T_+ = 2,39$, $T_3/T_+ = 5,95$; 2 — $\alpha = 1,5$, $\Delta p_{+2}/\Delta p_+ = 1/2$, $T_+/T_1 = 1,2$, $T_2/T_+ = 2,08$, $T_3/T_+ = 3,33$; 3 — $\alpha = 1$, $\Delta p_{+2} = 0$, $T_+/T_1 = 1,2$, $T_2 = T_3 = 2T_+$; 4 — для профиля волны от тротилового взрыва.

системы; $\Delta p(t)$ — внешняя нагрузка; Δp_+ — амплитудное значение положительной фазы действующей внешней силы.

Профиль взрывной волны от дефлаграции аппроксимируется линейными функциями (рис. 1). Начало профиля задается как

$$\Delta p(t) = \Delta p_+ t / T_1, \quad 0 \leq t \leq T_1.$$

Второй участок — падение давления от максимального в положительной фазе до минимального (отрицательного)

$$\Delta p(t) = \Delta p_+ \left(\frac{T_+ - t}{T_+ - T_1} \right), \quad T_1 \leq t \leq (1 + \alpha) T_+ - \alpha T_1.$$

Здесь $\alpha = \left| \frac{\Delta p_-}{\Delta p_+} \right|$ — отношение амплитудного значения давления в отрицательной фазе к максимальному значению давления в положительной фазе, T_+ — время действия положительной фазы волны. При конкретных расчетах используются $\alpha = 1$; 1,5; 2. Затем давление опять возрастает по линейному закону, и в зависимости от величины отрицательного импульса I_- либо только доходит до значения $\Delta p(t) = 0$, либо увеличивается еще, образуя вторую волну сжатия.

Положительный импульс первой волны сжатия определяется выражением

$$I_+ = 0,5 \Delta p_+ T_+,$$

отрицательный импульс волны разрежения —

$$I_- = 0,5 \Delta p_- T_-.$$

Здесь T_- — длительность фазы разрежения волны.

Параметры второй волны сжатия задаются следующим образом: максимальное давление в этой фазе равно половине максимального значения давления первой фазы сжатия, а ее длительность определяется из условия, что суммарный импульс волны равен нулю (см. рис. 1).

На рис. 2 представлены кривые максимального отклонения системы в зависимости от отношения времени действия положительной фазы волны ко времени релаксации системы T_+/θ для разных профилей. Импульс первой положительной фазы волны и максимальное давление в этой фазе одинаковы для всех случаев. Точки на рис. 2 указывают значение па-

метра T_+/θ , начиная с которого максимальное смещение препятствия под действием взрывной волны от газовой дефлаграции в направлении действия положительной фазы становится меньше, чем в противоположном. Это означает, что разрушение препятствия в этом случае при $T_+/\theta > 4$ может быть вызвано действием волны разрежения. При $T_+/\theta \approx 1 \div 10$ максимальное смещение препятствия, вызываемое газовым взрывом, может в несколько раз превосходить смещение от взрыва тротила (при одних и тех же Δp_+ и I_+).

Поэтому при определенных условиях разрушающее действие газовых взрывов сильнее, чем разрушающее действие взрыва тротила. При $T_+/\theta > 10$, если $\alpha = \left| \frac{\Delta p_-}{\Delta p_+} \right| < 2$, более разрушающим будет взрыв тротила, но если $\alpha > 2$, то разрушительнее оказывается взрыв от газовой дефлаграции.

Выражения для безразмерной максимальной избыточной нагрузки π и безразмерного импульса положительной фазы j имеют вид

$$\begin{aligned}\pi &= 2\Delta p_+/x_m K = 2/\xi_m, \\ j &= I_+/x_m (KM)^{1/2} = 1/2\xi_m \cdot T_+/\theta.\end{aligned}$$

Здесь x_m — максимальное смещение препятствия. Используя полученные решения (см. рис. 2), построим в плоскости $\pi - j$ кривые равных безразмерных максимальных смещений [3] (рис. 3). Линию 4 можно условно разбить на: 1) область квазистатического действия, которая при $T_+/\theta \gg 1$ стремится к асимптоте $\pi = 1$; 2) область импульсного действия, которая при $T_+/\theta \ll 1$ стремится к вертикальной асимптоте $j = 1$; 3) промежуточная область, где смещение препятствия зависит как от импульса, так и от силовой нагрузки.

Кривые 1—3 на рис. 3 также имеют асимптоты, причем горизонтальные асимптоты соответствуют условию $\pi = 2/\alpha$. Такое асимптотическое поведение системы также характеризуется условием $T_+/\theta \gg 1$ и статическим действием.

В отличие от профиля, соответствующего взрыву тротила, для газовых взрывов при $T_+/\theta \ll 1$ асимптоты не вертикальны. Аналитическое исследование асимптотического поведения решений уравнения (1) для профилей волн от газовой дефлаграции при $T_+/\theta \ll 1$ дает

$$x_m = \frac{2A}{K\theta^2} I_+ T_+, \quad (2)$$

где A зависит от формы профиля. Для профилей 3—1 (см. рис. 2) значения A равны соответственно 0,389; 0,34 и 1,375. Из (2) следует $\pi = 8A/j^2$, что хорошо соответствует численному решению уравнения (1). Для $T_+/\theta \approx 1 \div 10$ эти кривые имеют минимальные значения как импульса, так и силовой нагрузки. Этот участок характеризуется резонансными явлениями.

Таким образом, чтобы правильно оценивать взаимодействие взрывных волн от газовой дефлаграции с препятствиями, мало знать максимальный перепад давления и импульс в положительной фазе волны. В зависимости от соотношения времени действия волны и времени релаксации препятствия T_+/θ может возникнуть необходимость определить весь профиль волны ($T_+/\theta \approx 1 \div 10$), или при $T_+/\theta \gg 1$ — значение Δp_- .

Длительность фазы сжатия определяется временем горения облака $T_+ \approx R_0^{3/2} \sqrt{\sigma}/w$, где R_0 — начальный радиус облака; σ — степень расширения при горении; w — скорость пламени. Сравнивая T_+ с периодом собственных колебаний конструкции, можно судить о том, в каком направлении следует ожидать разрушений.

Поступила в редакцию 18/VIII 1982

ЛИТЕРАТУРА

1. В. А. Горев. ФГВ, 1982, 18, 1.
2. М. А. Садовский. — В кн.: Физика взрыва. № 1. М.: Изд-во АН СССР. 1952.
3. R. A. Strehlow, W. E. Baker. Prog. Energy Combust. Sci., 1976, 2, 27.